

## تعیین ضریب دیفیوژن فیلتر EPS، به روش‌های فعال و غیر فعال

خدارحم قندی<sup>۱</sup>، مجتبی رحیمی<sup>۱</sup>، علی نگارستانی<sup>۲</sup>، حسن رنجبر عسکری<sup>۱</sup>

۱- رفسنجان -دانشگاه ولی عصر (عج) - گروه فیزیک

۲- تهران - سازمان انرژی اتمی ایران، مرکز بین المللی علوم و تکنولوژی پیشرفته و علوم محیطی ماهان

### چکیده

با توجه به اهمیت و نقش فیلتر در طراحی آشکارسازهای رادن، اندازه‌گیری ضریب دیفیوژن فیلترها از اهمیت به سزاپی برخوردار است. در این مقاله نحوه اندازه‌گیری ضریب دیفیوژن به روش‌های فعال و غیر فعال مورد مطالعه قرار می‌گیرد. که در روش فعال از دستگاه Rad 7 و در روش غیر فعال از آشکارسازهای پلی کربنات CR-39 استفاده شده است. به علت یکسان نبودن نحوه اندازه‌گیری روش‌ها، مقادیر به دست آمده‌ی ضریب دیفیوژن از این دو روش متفاوت می‌باشد. هر چند که جنس ماده‌ی مورد استفاده یکسان می‌باشد. نتایج نشان می‌دهد که علاوه بر جنس موادی که فیلتر از آن ساخته می‌شود، همچنین نحوه اندازه‌گیری شرایط محیطی از جمله دما و فشار نیز نقش به سزاپی در مقدار ضریب دیفیوژن دارند.

کلید واژه: فیلتر، ضریب دیفیوژن، رادن، آشکارساز Rad 7، CR-39



دانشگاه شهر

## مقدمه

رادن ( $^{222}Rn$ ) یک گاز نجیب رادیواکتیو است که از واپاشی سری اورانیوم ۲۳۸ تولید می‌شود. هسته‌های دختر آن نیز که رادیواکتیو هستند پلونیوم ۲۱۸ ( $^{218}Po$ ) و پلونیوم ۲۱۴ ( $^{214}Po$ ) می‌باشند. با توجه به نیمه عمر هسته  $^{222}Rn$  (۳/۸۸ d)، کسری از گاز  $^{222}Rn$  تولیدشده در اثر واپاشی در درون خاک می‌تواند فاصله‌ی زیادی را طی کرده و به سطح زمین برسد و وارد اتمسفر شود. لذا از تغییر غلظت گاز رادن در سطح زمین در پیش‌نstanگرهای زلزله، تعیین گسل‌های فعال و کشف معادن اورانیوم استفاده می‌شود. دخترهای رادیواکتیو رادن، در شرایط عادی معلق هستند. غلظت مواد رادیواکتیو  $^{222}Rn$  و دخترانش در جو از جایی به جای دیگر متفاوت است و بستگی به وجود اورانیوم در زمین اطراف آن ناحیه دارد. رادن یک گاز نجیب است که می‌تواند در مواد متفاوت نفوذ کند و از نظر میکروسکوپی موجب عیوبی همانند ترک، درز و عیوب ساختاری در عناصر می‌شود [۱][۲]. نفوذ رادن بین ماده‌های متفاوت برای وجود رادن و اندازه‌گیری آن، یک پدیده‌ی جالب و هدفی مهم است. با توجه به موارد استفاده، از آشکارساز غیر فعال معمولاً به دو صورت با فیلتر یا بدون فیلتر انجام می‌گیرد، اما آشکارسازی بدون فیلتر مشکلاتی بوجود می‌آورد، از جمله می‌توان به موارد زیر اشاره کرد.

۱- در طول زمان پرتودهی ذرات غبار و بخار آب می‌توانند و بر روی آشکارساز بنشینند، بخار آب می‌تواند چگالیده شود و یک لایه نوار نازک از آب را بر روی آشکارساز ایجاد کند، بنابراین ذرات  $\alpha$  ایجاد شده از رادن و دخترانش توسط ذرات غبار و بخار آب در هوا و روی سطح، جذب یا باعث کاهش انرژی‌شان می‌شود.

۲- مشکل دوم که خیلی بنیادی‌تر از اولی است، این است که رادن در هوا وجود دارد و غیر از اینکه خود  $\alpha$  تشعشع می‌کند دخترانش نیز  $\alpha$  تشعشع می‌کند بنابراین ردهای که آشکارساز ثبت می‌کند نه تنها متعلق به رادن است بلکه متعلق به دخترهای آن نیز می‌باشد استفاده از ضریب کالیبراسیون، تنها برای تخمین گاز رادن درست نمی‌باشد و سهم دختران آن نیز باید در نظر گرفته شود.

۳- از مشکلات دیگر، گاز تورن ( $^{220}Rn$ ) و دخترانش در هوا می‌باشند که از سری توریوم ( $^{232}Th$ ) ناشی می‌شوند. اگر چه غلظت تورن در بسیاری از مناطق کوچک است و مقدار متوسط آن تنها ۵٪ از غلظت  $^{222}Rn$  است، در بعضی از نقاط از خانه‌های هنگ کنگ، غلظت تورن خیلی مهم می‌باشد [۳][۴][۵] بنابراین مقدار در نظر گرفته شده برای غلظت  $^{222}Rn$  در این مناطق بیشتر از مقدار واقعی آن می‌باشد لذا بهتر است برای اندازه‌گیری غلظت رادن از سیستم بسته یعنی از فیلتر استفاده کرد. فیلتر ایده‌آل فقط اجازه عبور گاز رادن ( $^{222}Rn$ ) را می‌دهد و از عبور غبار، بخار آب، دختران کوتاه عمر رادن و تورن جلوگیری می‌کند. بنابراین شناخت پارامترهای مختلف فیلتر مورد استفاده از جمله ضریب دیفیوژن آن از اهمیت بسزائی برخوردار است. ضریب نفوذ پذیری فیلترهای از یک جنس ممکن است به دلایل مختلف از



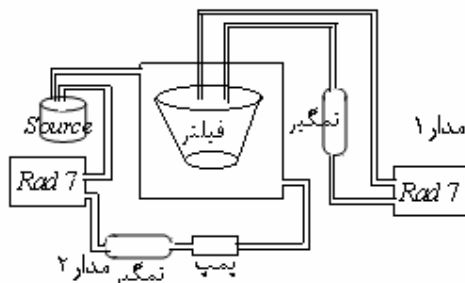
دانشگاه شهر

جمله تکنولوژی ساخت، که منجر به تغییر بعضی خصوصیات فیزیکی آن می‌شود، متفاوت باشد و مقادیر بدلست آمده برای ضریب نفوذپذیری آن فیلتر های از یک جنس، مقداری نوسان دارد [6]. پس لازم است در طراحی آشکارسازهای بسته، ابتدا ضریب نفوذپذیری فیلترها اندازه‌گیری گردد. در این مقاله ضریب نفوذپذیری بعضی از مواد را که می‌توان به عنوان فیلتر استفاده نمود به دو روش فعال و غیر فعال مورد مطالعه قرار داده و در مورد نحوه انجام کار و نتایج بدست آمده از این دو روش بحث می‌گردد.

### روش کار

#### روش فعال

در این روش، از دو دستگاه Rad 7 با کالیبراسیون یکسان یکی جهت غلظت رادن درون فیلتر، و دیگری برای خارج فیلتر استفاده گردید ابتدا فیلترها را، از عناصری از جنس پلکسی با ضخامت  $2\text{ mm}$ ، فیبر استخونی با ضخامت  $3\text{ mm}$  و پلیکا با ضخامت  $3\text{ mm}$  استفاده گردید، ولی نتایج بدست آمده از این آزمایش نشان داده که این عناصر هیچگونه رادنی عبور نمی‌دهند و مقادیر اندازه‌گیری شده، در دامنه‌ی خطای دستگاه بوده‌اند، پس از یک لیوان پلیمری EPS به عنوان فیلتر استفاده شده، و سیستم را به صورت زیر وصل کرده‌ایم (شکل ۱).

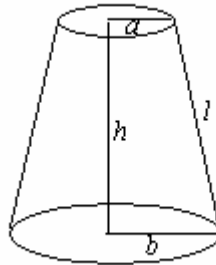


شکل ۱

فیلتر EPS یک مخروط ناقصی، است با ارتفاع  $h = 92.7\text{ mm}$ ، شعاع سطح قاعده‌های کوچک و بزرگ به ترتیب برابر با  $a = 20.9\text{ mm}$ ،  $b = 34.09\text{ mm}$  و ضخامت  $\delta = 2.26\text{ mm}$  می‌باشد. و جای دو شلینگ به شعاع  $= 4.89\text{ mm}$  روی سطح قاعده‌ی بزرگ در آورده شد. محفظه‌ی فیلتر در شکل ۲ مشخص شده است.



دانشگاه شهر



شکل ۲

ابتدا هر دو دستگاه با پمپ مربوطشان را روشن کرده با توجه به وجود منع رادن در مدار ۲ ابتدا غلظت رادن درون محفظه اطراف فیلتر بالا می‌رود و افزایش غلظت رادن باعث می‌شود رادن به خود محفظه فیلتر EPS نفوذ کند تا به تعادل برسد. در این صورت با داشتن غلظت رادنی که هر دستگاه نشان می‌دهد، نفوذپذیری فیلتر  $p$  (بر حسب  $cm^2 s^{-1}$ ) از رابطه زیر تعیین می‌شود [2]، [7]

$$p = \frac{V \delta \lambda}{S} \left( \frac{C_2}{C_1 - C_2} \right) \quad (1)$$

به طوری که  $S$ ،  $\delta$  به ترتیب مساحت و ضخامت فیلتر،  $V$  حجم محفظه فیلتر و محفظه آشکارساز،  $\lambda$  ثابت واپاشی رادن  $^{222}Rn$  ( $2.09 \times 10^{-6} s^{-1}$ ) و  $C_1$ ،  $C_2$  به ترتیب غلظت بیرون و درون اتاقک فیلتر بر حسب  $Bq$  می‌باشد. و با جایگزاری مقادیر بالا، در رابطه ۱ مقدار اندازه‌گیری شده برای ضریب نفوذپذیری برابر با:

$$p_a = (6.11353 \pm .25) \times 10^{-5} cm^2 s^{-1}$$

به طوری که  $p_a$  نفوذپذیری در دستگاه فعال را نشان می‌دهد. چون در این حالت نفوذپذیری مربوط به شیلنگها و خود دستگاه‌ها نادیده گرفته شده است، بنابرین انتظار می‌رود جواب کاملاً دقیق بدست نیاید. لذا دوباره دستگاه‌های 7 Rad را روشن نمود، و صبر می‌کنیم تا غلظت درون محفظه فیلتر کاملاً با غلظت بیرون به تعادل برسد. در این حالت با برداشتن دستگاه 7 Rad و منع رادن را از مدار ۲ به طوری که مدار ۲ باز مانده ولی مدار ۱ همچنان بسته باشد چون مدار ۲ باز می‌باشد لذا غلظت رادن درون محفظه فیلتر شروع به دیفوزن به خارج می‌کند، تا زمانی که خالی شود (شکل ۳).



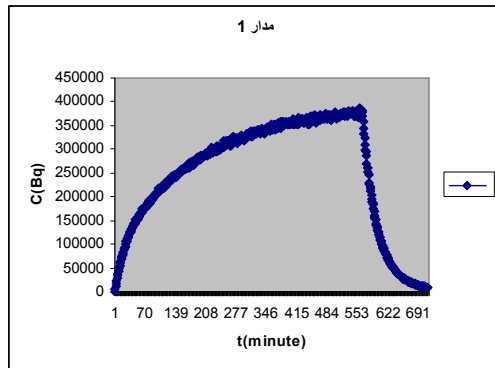
دانشگاه شهر

## چهاردهمین کنفرانس هسته‌ای ایران

۱ و ۲ اسفند ماه ۱۳۸۶، یزد



انجمن هسته‌ای ایران



شکل ۳

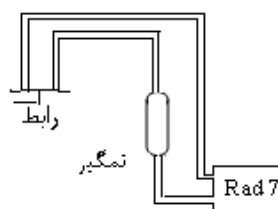
این آزمایش در دمای اتاق دمای  $25^{\circ}$ ، چرخه زمانی  $10$  دقیقه و رطوبت  $13\%$  انجام شد. بر روی قسمت دوم نمودار شکل ۳ که مربوط به حالت خالی شدن محفظه‌ی فیلتر است با استفاده از نرم افزار Origin، معادله‌ی زیر را برازش کردیم.

$$C = C_0 + Be^{\frac{T-t_0}{t_1}} \quad (2)$$

که  $t_1 = -26.48976 \text{ min}$ ,  $t_0 = .00001 \text{ min}$ ,  $B = 8.8996 Bq$ ,  $C_0 = 8598.041 Bq$  با توجه به مقادیر بالا، ثابت زمانی به صورت زیر بدست می‌آید.

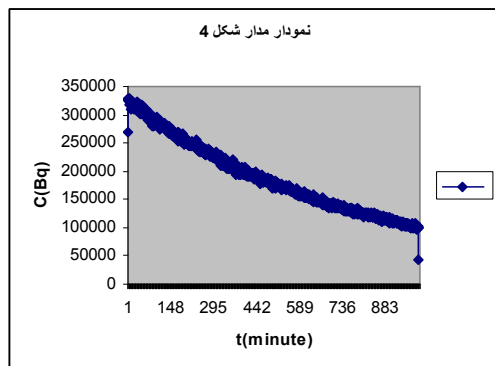
$$T = 1.5893862 \times 10^4 \text{ s}$$

در مرحله دوم نفوذپذیری مربوط به شیلنگها و خود دستگاه را بدست آورده شد (شکل ۴).



شکل ۴

و نمودار مربوط به نفوذپذیری و رخنه‌ی شیلنگها و خود دستگاه را به صورت زیر رسم می‌شود (شکل ۵)



شکل ۵



دانشگاه شهر

در این حالت چرخه زمانی ۵ دقیقه‌ای است، و مانند حالت قبلی بر روی نمودار معادله‌ی زیر را برازش کردیم.

$$C' = C_0' + B' e^{\frac{t_1 - t_0'}{t_{leak}}} \quad (3)$$

$t_1' = 606.06 \text{ min}$ ,  $t_0' = .0000001 \text{ min}$   $C_0' = 42083.47 Bq$ ,  $B' = 290386.197 Bq$   
با توجه به مقادیر بالا ثابت زمانی به صورت زیر بدست می‌آید.

$$t_{leak} = 2.23863048 \times 10^6 \text{ s}$$

با توجه به ثابت‌های زمانی که از هر دو حالت بدست آورده شده و همچنین زمان واپاشی خود را درن، می‌توان زمان نفوذپذیری را بدست آورد [8].

$$\frac{1}{T} = \frac{1}{t_{ch}} + \frac{1}{t_{leak}} \quad (4)$$

به طوری که  $T$  و  $t_{ch}$  به ترتیب ثابت زمانی کل و مربوط به محفظه‌ی فیلتر و خود را درن است که بر حسب ثانیه اندازه‌گیری شده است، و از طرفی داریم [8].

$$\frac{1}{t_{ch}} = \frac{1}{t_{dif}} + \frac{1}{t_{Rn}} \quad (5)$$

با توجه به داده‌های بالا  $t_{dif} = 27174.5037 \text{ s}$  و با توجه به معادله نفوذپذیری  $D$  (بر حسب  $\text{cm}^2 \text{s}^{-1}$ ) که به صورت زیر داریم [8].

$$D = \frac{\delta V}{t_{dif} S} \quad (6)$$

ضریب نفوذپذیری فیلتر پس از چندین مرتبه اندازه‌گیری، و به صورت زیر بدست آمد.

$$D = (1.7949465 \pm 0.181) \times 10^{-5} \text{ cm}^2 \text{s}^{-1}$$

### روش غیر فعال

در این حالت از آشکارسازهای حالت جامد  $CR - 39$  استفاده می‌کنیم. دو تا آشکارساز را در هر دو قاعده از محفظه‌ی فیلتر (درون فیلتر) با ابعاد و اندازه‌ی استفاده شده در مرحله قبل نصب می‌کنیم و یک آشکارساز دیگر در بیرون محفظه‌ی فیلتر به فاصله‌ی ۲۰ سانتی‌متر از کف ظرف آویزان کردیم (شکل ۶) و پشت این آشکارساز را لایه نازک دستمال کاغذی چسبانده‌ایم تا از یک طرف



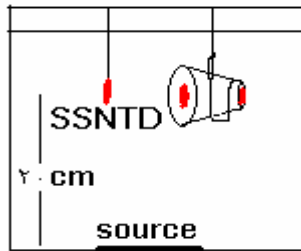
دانشگاه شهر

## چهاردهمین کنفرانس هسته‌ای ایران



انجمن هسته‌ای ایران

۱ و ۲ اسفند ماه ۱۳۸۶، یزد



شکل ۶

ذرات را ثبت کند. منبع رادن با اکتیویته پایین که به صورت سنگ می‌باشد (از این منبع امکان واپاشی گاز سنگین تورن  $Rn^{220}$  با نیمه عمر ۵۶ ثانیه وجود دارد) در کف ظرف قرار داده شد. مدت زمان حرکت گاز تورن، از کف ظرف تا آشکارسازها (فاصله‌ی ۲۰ سانتی‌متری از کف ظرف) بیشتر از نیمه عمرش می‌باشد بنابراین واپاشی کرده و از بین می‌رود. در نتیجه آلفاهای که در سطح آشکارسازهای CR-39 رد ایجاد کرده تنها ناشی از آلفاهای تولید شده از گاز رادن و دخترانش می‌باشد. این آزمایش در دمای اتاق اندازه‌گیری شد و آشکارسازها به مدت یک هفته در معرض پرتو قرار گرفته‌اند و مراحل زیر را برای خواندن اثرات  $\alpha$ ‌های تولید شده از این گاز رادن و دخترانش بر روی آنها انجام می‌شود. سپس آشکارسازها را برای بزرگ نمودن ردپاهای و انجام خوردگی شیمیایی برای مدت ۳-۵ ساعت در محلول ۶ نرمال NaOH و در دمای ۷۰ درجه سانتیگراد تحت عمل خوردگی قرار می‌دهیم. سپس آنها را با آب معمولی شستشو داده و خشک کرده تا آماده شمارش شوند. بعد آشکارسازهای CR-39 در زیر میکروسکوپ نوری، با بزرگنمایی موردنظر قرار داده و ردپاهای حاصل را برای مکانهای مختلف از سطح آشکارساز که به طور تصادفی انتخاب می‌شوند، شمارش می‌کنیم. نکته جالبی که انتظار می‌رفت تعداد ردپاهای آشکارسازی که در سطح قاعده بزرگ قرار گرفته است بیشتر از تعداد ردپاهای آشکارسازی که در سطح قاعده کوچک قرار گرفته است می‌باشد، زیرا حجم موثر آن بیشتر است. بعد از چندین مرتبه اندازه‌گیری، با داشتن غلظت درون و بیرون محفظه‌ی فیلتر و معادله‌ی ۱، نفوذپذیری در حالت غیر فعال بدست می‌آید.

$$p_P = (3.22 \pm 0.3) \times 10^{-7} \text{ cm}^2 \text{s}^{-1}$$

به طوری که  $p_P$  نفوذپذیری در دستگاه غیر فعال را نشان می‌دهد. با استفاده از روابط زیر می‌توان کمیت‌های،  $n_1$  (تعداد ذرات در ناحیه  $V_1$  که مربوط به منبع است) و  $n_2$  (تعداد ذرات در ناحیه  $V_2$  که مربوط به فیلتر است) را برای دو حالت فعال و غیر فعال بدست آورد [9].

$$\frac{dn_1}{dt} = -\lambda n_1 + A - \frac{S D}{\delta V_1} (n_1 - n_2) \quad (V)$$

$$\frac{dn_2}{dt} = -\lambda n_2 - \frac{S D}{\delta V_2} (n_1 - n_2) \quad (A)$$



دانشگاه شهر

به طوری که  $D$  نفوذپذیری فیلتر،  $A$  اکتیویته منبع و  $S$  مساحت فیلتر می‌باشد. شرایط مرزی در نظر گرفته شده  $n_2(t=0)=0$ ,  $n_1(t=0)=0$  می‌باشد، حال، با تعریف بازدهی فیلتر  $R$  به صورت زیر:

$$R = \frac{n_2}{n_1} = \frac{1}{(1 + \lambda \delta V^2 / S D)} \quad (9)$$

می‌توان  $R$  را برای دو حالت فعال ( $R_a$ ) و غیر فعال ( $R_p$ ) به صورت زیر بدست آورد.

$$R_a = 0.95, R_p = 0.61$$

### بحث و نتیجه گیری

نفوذپذیری فیلتر EPS را برای روش فعال به دو حالت، یک حالت بدون در نظر گرفتن نفوذپذیری شیلنگها و خود دستگاه و حالت بعد با در نظر گرفتن آنها بدست آورده‌ایم چون شرایط برای هر دو حالت یکسان می‌باشد پس می‌توان هر دو حالت را مقایسه و اختلاف را ناشی از نفوذپذیری شیلنگها و خود دستگاه دانست. ولی با حالت غیر فعال چون شرایط یکسان نیستند نمی‌توان مقایسه کرد، اما می‌توان مشاهده کرد که علاوه بر جنس فیلترها شرایط (از جمله فشار و دما.....) نقش به سزاوی در ضریب نفوذپذیری فیلتر دارند. و با داشتن ضریب نفوذپذیری فیلتر می‌توان بازده آن را بدست آورد.

### مراجع

- [1] Espinosa, G., Castano, V.M., Golzarri, J.I., Gammage, R., 1991. Permeability of some materials to radon. Nucl. Track Radiat. Meas. 19 (1–4), 307–308.
- [2] M.A. Sharaf,M. Abo-Elmagd 'Thermal effects on CR-39 detector response and permeability of some membranes used in radon measurements' Radiation Measurements 39 (2005) 441 – 445
- [3] K.N. Yu, E.C.M. Young, M.J. Stokes, Z.J. Guan, K.W. Cho, Health Phys. 73 (1997) 373.
- [4] K.N. Yu, T. Cheung, Z.J. Guan, W.N. Mui, Y.T. Ng, J. Environ. Radioact. 48 (2000) 211.
- [5] K.N. Yu, Z.J. Guan, M.J. Stokes, E.C.M. Young, J. Environ. Radioact. 17 (1992) 31.
- [6] Waffa Arafa 'permeability of radon-222 through some materials' Radiation Measurements 35 (2002) 207 – 211
- [7] Ramachandran, T.V., Lalit, B.Y., Mishra,U.C., 1987. Measurements of radon permeability through some membranes. Nucl. Track Radiat. Meas. 13 (1), 81–84.
- [8] Fleischer R. L., Giard W. R., Mogro-campero A., Turner L. G., Alter H. W. and Gingrich J. E. (1980). Dosimetry of environmental radon: methods and theory for low-dose integrated measurements. Health Phys., 39, pp. 957-962.
- [9] Ward W. J. III, Fleischer R. L. and Mogro-Campero A. (1977). Barrier techniques for separate Measurement of radon isotopes. Rev. Sci. Instrum., 48, pp. 1440-1441.

استاد راهنما دکتر حسن رنجبر عسکری